

УДК 532.516

**О БИФУРКАЦИИ РАЗВИТОГО ТЕЧЕНИЯ ПО ПРЯМОУГОЛЬНЫМ  
КАНАЛАМ, ВРАЩАЮЩИМСЯ ВОКРУГ ПОПЕРЕЧНОЙ ОСИ**

**СМИРНОВ Е. М.**

В [1, 2] изучена линейная задача устойчивости течения Пуазейля между двумя бесконечными пластинами, вращающимися вокруг оси, параллельной пластинам и нормальной к направлению течения. Установлено, что поток наименее устойчив к возмущениям в виде стоячих волн, известных как вихри Тейлора. Опытные данные [1, 3] и результаты [4] численного интегрирования уравнений Навье – Стокса для каналов, сечения которых сильно вытянуты вдоль оси вращения, хорошо согласуются с выводами линейной теории. В более интересных для практики случаях каналов с отношением сторон сечения порядка единицы первичное течение приобретает существенно пространственный характер и эволюционирует с изменением определяющих критерии – чисел Рейнольдса и Россби. Это, очевидно, сильно затрудняет использование методов линейной теории. Экспериментально вопрос о влиянии отношения сторон сечения на устойчивость первичного режима течения изучался в [3]. Ниже излагаются результаты исследования данной проблемы, выполненного на основе численного метода интегрирования нелинейных уравнений Навье – Стокса. Кроме того, приводится асимптотическая оценка предела устойчивости первичного режима, основанная на локальном условии невязкой неустойчивости вращающихся течений.

1. Рассмотрим установившееся движение вязкой несжимаемой жидкости по каналу прямоугольного поперечного сечения  $2h \times 2l$ , который вращается с постоянной угловой скоростью  $\omega$  относительно оси, перпендикулярной к стенкам канала шириной  $2l$  (фиг. 1). Канал полагается достаточно длинным, а движение развитым, с неизменными распределениями составляющих скорости во всех нормальных сечениях.

Введем жестко связанную с каналом декартову систему координат  $xyz$ , начало которой расположим на центральной линии. Ось  $z$  направим по потоку, ось  $y$  – параллельно оси вращения. Примем полуширину канала  $l$  и среднерасходную скорость  $W_m$  за масштабы и запишем уравнения задачи в безразмерном виде

$$\frac{\partial(u^2)}{\partial x} + \frac{\partial(uv)}{\partial y} = -\frac{\partial p^*}{\partial x} + \frac{2}{Re} \Delta u - Ku \quad (1.1)$$

$$\frac{\partial(uv)}{\partial x} + \frac{\partial(v^2)}{\partial y} = -\frac{\partial p^*}{\partial y} + \frac{2}{Re} \Delta v$$

$$\frac{\partial(uw)}{\partial x} + \frac{\partial(vw)}{\partial y} = \frac{\lambda}{4} + \frac{2}{Re} \Delta w + Ku$$

$$\frac{\partial u}{\partial x} + \frac{\partial v}{\partial y} = 0$$

$$\lambda = -4 \frac{\partial p^*}{\partial z} = -\frac{4}{\rho W_m^2} \frac{\partial}{\partial z} \left( p + \frac{\rho \omega^2 r^2}{2} + D \right) = \text{const}$$

Здесь  $\Delta = \partial^2/\partial x^2 + \partial^2/\partial y^2$ ;  $u, v, w$  – безразмерные проекции вектора скорости соответственно на осях  $x, y, z$ ;  $p^*$  – безразмерная величина моди-

фицированного давления;  $r$  — кратчайшее расстояние до оси вращения;  $D$  — потенциал массовых сил;  $\text{Re} = 2lW_m/v$  — число Рейнольдса;  $K = 2l\omega/W_m$  — параметр вращения;  $\lambda$  — коэффициент гидравлического сопротивления.

Решение системы (1.1) должно удовлетворять условиям прилипания

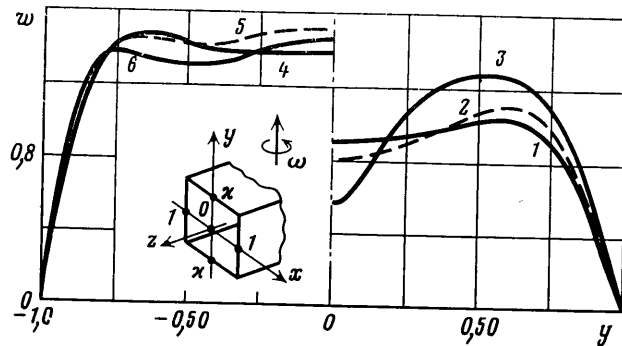
$$u=v=w=0, \quad x=\pm 1 \quad (1.2)$$

$$u=v=w=0, \quad y=\pm x \quad (1.3)$$

где  $\kappa = h/l$ , и интегральному соотношению

$$\int_{-1}^1 \int_{-\infty}^{\infty} w(x, y) dx dy = 4\kappa \quad (1.4)$$

Проводя замену  $y \rightarrow -y$ ,  $v \rightarrow -v$ , убедимся, что в задаче возможны решения, симметричные относительно плоскости  $y=0$ . Только такие реше-



Фиг. 1

ния и будем рассматривать в дальнейшем. Границные условия (1.3) заменим на следующие:

$$v=0, \quad \frac{\partial u}{\partial y} = \frac{\partial w}{\partial y} = 0, \quad y=0 \quad (1.5)$$

$$u=v=w=0, \quad y=\kappa$$

**2.** Численные решения задачи (1.1), (1.2), (1.4), (1.5) находились методом установления по неявной разностной схеме, сходной с предложенной в [5]. Использовались физические переменные  $u$ ,  $v$ ,  $w$ ,  $p^*$ . В уравнение неразрывности вводился член, выражающий искусственную сжимаемость. Исходной нелинейной задаче ставилась в соответствие линеаризованная задача нахождения невязок на каждом временному шаге. Для вычисления невязок применялся метод расщепления по координатам. Дифференциальные операторы аппроксимировались в соответствии с методом маркеров и ячеек на сетке с равномерными шагами  $h_x = 2/N$ ,  $h_y = \kappa/M$ . Аппроксимация установленного решения имела второй порядок точности по обеим координатам. Выполнение условия (1.4) обеспечивалось разделением уравнения для невязки поля  $w$  на два линейно независимых уравнения и надлежащей суперпозицией их решений.

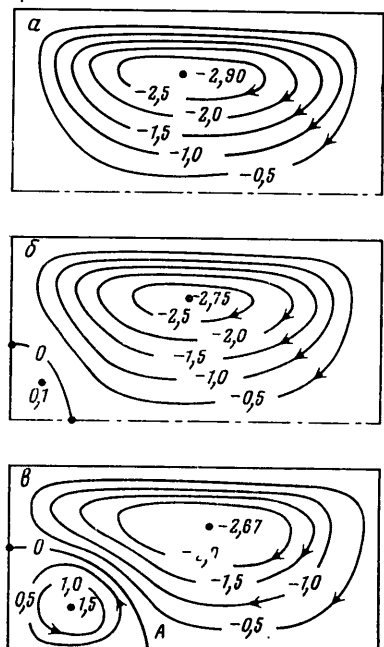
Для диапазона  $0 \leq K \leq 0,25$  использовалась сетка  $N \times M = 20 \times 20$ , при расчетах с большими значениями  $K$  — сетка  $N \times M = 20 \times 40$ .

**3.** Первичный режим развитого течения по вращающимся каналам прямоугольного сечения изучался в [6] экспериментально, в [7, 8] — численными методами. В ходе настоящего исследования были воспроизведены численные решения, соответствующие тем наборам значений  $\text{Re}$  и  $K$ , для которых в [7, 8] приводятся профили составляющих скорости

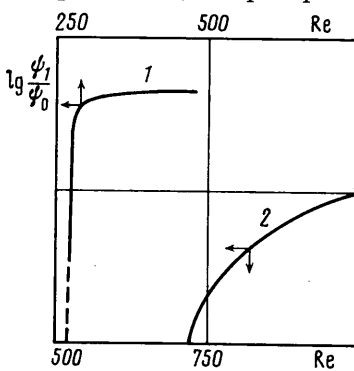
в каналах с  $\kappa=1$  и 2; получено практически полное совпадение результатов.

Конкретный вид первичного режима течения зависит от значений  $Re$  и  $K$ . Можно, однако, выделить следующие наиболее характерные черты перестройки потока, обусловленной вращением. В канале развивается вторичное (поперечное) течение, первопричина возникновения которого заключается в неоднородности распределения силы Кориолиса по направлениям, параллельным оси вращения. Вторичное течение формируется в виде пары вихрей, симметричных относительно плоскости  $y=0$ . Обратное действие поперечного движения на течение в основном направлении при малых  $K$  проявляется в смещении максимума скорости к набегающей на жидкость стенке (стороне с повышенным давлением), а при больших  $K$  — в выделении центрального ядра потока, в котором распределение составляющих скорости  $w$ , и близко к однородному. На стенках, перпендикулярных оси вращения, формируются относительно тонкие сдвиговые слои, так называемые слои Экмана.

В результате экспериментов [3, 6] установлено, что при переходе на плоскости определяющих критериев  $Re$ ,  $K$



Фиг. 2



Фиг. 3

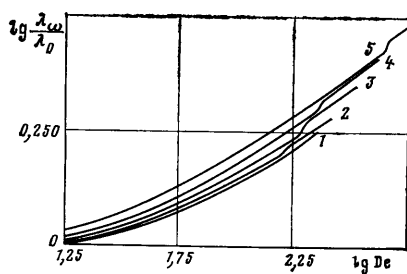
через некоторую границу картину движения во всех использованных каналах ( $\kappa=1; 2; 4; 7,2$ ) резко меняется. При этом наибольшим изменениям подвержено поле скорости в окрестности набегающей стенки. Численные решения, полученные в настоящей работе, ведут себя подобным же образом.

На фиг. 2,  $a-c$  для канала с геометрическим параметром  $\kappa=1$  приведены картины проекций линий тока на нормальное сечение, полученные при  $K=0,5$  и трех близких значениях  $Re=250, 275$  и  $285$ . Цифры у кривых соответствуют значениям величины  $50\psi$ , где  $\psi$  — безразмерная функция тока поперечного движения

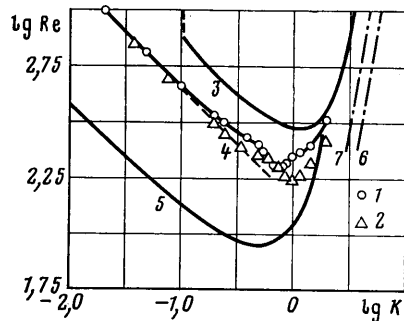
$$\psi = \int_0^y u dy$$

Видно, что рост  $Re$  приводит к развитию в области  $x<0$  пары вихрей (учтывается симметрия течения) с циркуляцией, противоположной основному вторичному движению. Переход к новой форме движения вызывается конвективной неустойчивостью и может трактоваться как нормальная бифуркация первичного режима течения во вторичный режим с одной парой тейлоровских вихрей.

На фиг. 1 показано распределение продольной компоненты скорости в двух плоскостях  $x=\text{const}$  при  $K=0,5$ ; кривым 1–3 соответствуют  $\text{Re}=250, 275, 285$ ,  $x=-0,85$ ; кривым 4–6 –  $\text{Re}=250, 285, 475$ ,  $x=-0,15$ . В непосредственной близости к набегающей стенке переход к течению с тейлоровскими вихрями сопровождается развитием глубоких провалов в профилях  $w(y)$ . Очевидно, это обусловлено выносом замедленной жидкости от стенки внутрь потока. В центральной части изменение профилей  $w(y)$  качественно иное. Здесь наблюдается повышение скорости в средней части, правда, относительно слабое. Причина этого повышения заключается в уменьшении в окрестности точки ветвления  $A$  (фиг. 2,  $e$ ) тормозящего эффекта, создаваемого в центре потока осевой составляющей



Фиг. 4



Фиг. 5

силы Кориолиса (величиной  $Ku$ ). Результаты экспериментов [3, 6], в которых использовалась техника визуализации водородными пузырьками, подтверждают данный характер перестройки поля  $w$ , сопровождающей развитие тейлоровских вихрей.

На фиг. 3 для  $K=0,5, 0,05$  (кривые 1, 2) показаны зависимости отношения  $\psi_1/\psi_0$  от числа Рейнольдса. Здесь  $\psi_0=\max|\psi|$  для вихря основного вторичного течения,  $\psi_1=\max|\psi|$  для тейлоровского вихря. Видно, что при малых  $K$  развитие тейлоровских вихрей с ростом  $Re$  идет медленнее.

Практический интерес представляет выяснение вопроса о реакции такой интегральной величины, как гидравлическое сопротивление канала, на переход к новой форме движения. На фиг. 4 приведены зависимости отношения  $\lambda_\omega/\lambda_0$  от безразмерных параметров течения в канале с квадратным сечением. Здесь  $\lambda_\omega, \lambda_0$  – коэффициенты сопротивления вращающегося и неподвижного каналов, взятые при одинаковом значении  $Re$ . Кривым 1–5 соответствуют значения  $K=0,05; 0,2; 0,5; 1,0; 2,0$ . Комплекс  $De=Re\sqrt{K}$  построен по аналогии с известным числом Дина [9], используемым в исследованиях движений по криволинейным каналам.

В первичном режиме расслоение кривых  $\lambda_\omega/\lambda_0=f(De)$  для разных  $K$  становится существенным лишь при  $K \geq 0,2$ . На зависимостях 2–5 отчетливо видны изломы, соответствующие переходу к течению с одной парой тейлоровских вихрей. Однако повышение величины  $\lambda_\omega$  вследствие бифуркации весьма незначительно, кроме того, сохраняется характер зависимости  $f(De)$ . Этим, вероятно, и обусловлен тот факт, что в работах, посвященных измерениям потерь давления во вращающихся прямолинейном [10] и криволинейных [11] каналах, переход к новой форме движения не отмечен. В целом же представленные на фиг. 4 зависимости хорошо согласуются с опытными данными [10].

В результате систематических расчетов были определены границы на плоскости определяющих критериев  $Re, K$ , отмечающие начало образования тейлоровских вихрей (фиг. 5). Расчетные точки 1, 2 соответствуют значениям  $\kappa=1; 2$ . Они определялись по появлению в области  $x<0, y>0$  положительных значений  $\psi>10^{-4}$ .

Первичный режим в каналах с  $\kappa=2$  переходит, как и в случае  $\kappa=1$ , в течение с одной парой вихрей Тейлора. Отметим, однако, что если для канала с квадратным сечением все полученные численные решения соответствовали либо первичному режиму, либо течению с одной парой тейлоровских вихрей, то в случае  $\kappa=2$  решения при  $K \geq 1,5$  и  $Re \geq 400$  указывали на развитие трех пар вихрей Тейлора (в полном сечении канала). Определение границ перехода от течения с одной парой тейлоровских вихрей к режиму с большим их числом может составить предмет отдельного исследования.

Кривая 3 на фиг. 5 ограничивает снизу область значений  $Re$ ,  $K$ , при которых в экспериментах [3, 6] с каналом квадратного сечения первичный режим течения не мог быть реализован, а наблюдались либо стационарный режим с парой тейлоровских вихрей, либо нестационарные (при  $Re \geq 650$ ) режимы движения. В качественном отношении расчетная и экспериментальная границы устойчивости первичного режима полностью согласуются между собой. Причина количественного расхождения заключается, по-видимому, в недостаточности длины каналов в опытах [3, 6] для полного развития потока. В пользу данного объяснения свидетельствует сближение опытных и расчетных результатов с ростом  $K$ . В [12] установлено, что увеличение интенсивности вращения сокращает длину участка развития поля скорости.

Пунктирная линия 4 соответствует постоянному значению комплекса  $De=147$ . Построенная по данным [2] кривая 5 приведена для сравнения. Она отмечает предел устойчивости течения в плоскопараллельном канале ( $\kappa \rightarrow \infty$ ), определенный по линейной теории устойчивости.

К сожалению, не удалось продолжить границы устойчивости первичного режима течения в область  $K > 2$ . В этой области увеличение  $K$  влечет за собой повышение критических значений числа Рейнольдса. Имеет смысл в связи с этим рассмотреть асимптотику предела устойчивости первичного режима, основываясь на локальном условии невязкой (рэлеевской) неустойчивости в плоскопараллельных вращающихся течениях, которое использует проверку знака скалярного произведения векторов угловой скорости и абсолютной завихренности. При  $\omega \neq 0$  нейтральное локальное состояние соответствует нулевому значению модуля абсолютной завихренности  $\zeta$ .

Рассмотрим случай  $K \gg 1$ , т. е. течение при малых значениях числа Россби  $Ro = K^{-1}$ . Для достаточно больших значений  $Re$  это означает, что число Экмана  $E = v/\omega h^2 \ll 1$  и в потоке сформировалось однородное ядро, отделенное от стенок слоями Экмана и Стюартсона [6, 13]. Неустойчивость по Рэлею может проявиться лишь в слое Стюартсона, расположенным у набегающей стенки. Распределение  $w(y)$  в этом слое близко к однородному, а две другие компоненты скорости пренебрежимо малы. Увеличение  $\omega$  приводит к монотонному смещению плоскости  $\zeta=0$  в направлении основной компоненты кориолисовой силы. При совмещении плоскости нейтральной устойчивости с набегающей стенкой область дестабилизации исчезает и весь поток оказывается подверженным стабилизирующему действию вращения.

Распределение скорости в слое у набегающей стенки при  $E \rightarrow 0$  определяется формулой [13]

$$w = 1 - \exp[-(1+x)/\kappa E^{1/4}] \quad (4.1)$$

Составим выражение для величины абсолютной завихренности

$$\zeta_v = 2\omega - \frac{W_m}{l} \frac{dw}{dx} \quad (4.2)$$

и положим  $\zeta_v = 0$  при  $x = -1$ . Тогда из (4.1), (4.2) найдем, что области с дестабилизирующим воздействием вращения отсутствуют в потоке, если  $Ro \leq \kappa E^{1/4}$  или, что то же самое, при  $Re \leq 4\kappa^2 K^3$ . Пределы невязкой неустой-

чивости, определенные по этой формуле, показаны для  $\kappa=1$  и 2 линиями 6, 7 на фиг. 5.

Отметим в заключение, что в плоскопараллельном канале стабилизирующее воздействие вращения охватывает весь поток, если  $K>3$  [14]. Независимость данного условия от числа Рейнольдса проистекает из того факта, что в идеализированном случае сколь угодно больших значений  $\kappa$  первичный режим движения не эволюционирует ни с ростом  $Re$ , ни с увеличением  $K$ , а сохраняется в виде течения Пуазейля с параболическим профилем  $w(x)$ .

#### ЛИТЕРАТУРА

1. Hart J. E. Instability and secondary motion in a rotating channel flow.— *J. Fluid Mech.*, 1971, v. 45, № 2, p. 341–351.
2. Lezius D. K. Finite – difference solutions of Taylor instabilities in viscous plane flow.— *Comput. and Fluids*, 1975, v. 3, № 1, p. 103–110.
3. Кузьминский А. В., Смирнов Е. М., Юркин С. В. Продольно ориентированные ячеистые структуры типа вихрей Тайлора — Гертлера на стороне повышенного давления вращающихся каналов.— ПМТФ, 1983, № 6, с. 129–134.
4. Speziale C. G., Thangam S. Numerical study of secondary flows and loll-cell instabilities in rotating channel flow.— *J. Fluid Mech.*, 1983, v. 130, p. 377–395.
5. Колешко С. Б. Разностная схема для решения уравнений стационарных течений вязкой жидкости.— В кн.: Численные методы механики сплошной среды. Новосибирск, 1979, т. 10, № 3, с. 100–104.
6. Смирнов Е. М., Юркин С. В. О течении жидкости по вращающемуся каналу квадратного поперечного сечения.— Изв. АН СССР. МЖГ, 1983, № 6, с. 24–30.
7. Schilling R., Marcinowski H. Untersuchung des Druckverlustes und der Wärmeüberganges in rotierenden Kanälen mit rechteckigem Querschnitt.— In: Recent Developments in Theor. and Experiment Fluid Mech. Berlin: Springer, 1979, p. 529–545.
8. Speziale C. G. Numerical study of viscous flow in rotating rectangular ducts.— *J. Fluid Mech.*, 1982, v. 122, p. 251–271.
9. Щукин В. К. Теплообмен и гидродинамика внутренних потоков в полях массовых сил. М.: Машиностроение, 1980. 240 с.
10. Döbner E. Über den Strömungswiderstand in einem rotierenden Kanal: Dissertation. Darmstadt: Technische Hochschule Darmstadt. 1959, 62 S.
11. Piesche M., Felsch K.-O. Experimental investigation of pressure loss in rotating curved rectangular channels.— *Arch. Mech.*, Warszawa, 1980, v. 32, № 5, p. 747–756.
12. Кузьминский А. В., Смирнов Е. М., Юркин С. В. Экспериментальное исследование развивающегося течения в канале квадратного сечения, вращающемся вокруг поперечной оси.— Инж.-физ. журн., 1983, т. 45, № 4, с. 662–663.
13. Смирнов Е. М. Асимптотические формулы сопротивления быстровращающихся радиальных каналов прямоугольного поперечного сечения.— Изв. АН СССР. МЖГ, 1978, № 6, с. 42–49.
14. Lezius D. K., Johnston J. P. Roll-cell instabilities in rotating laminar and turbulent channel flows.— *J. Fluid Mech.*, 1976, v. 77, № 1, p. 153–175.

Ленинград

Поступила в редакцию  
17.XII.1984